

## ظهور و توزیع برخی گلیکوکانجوگیت‌ها در ضمن هیستوژنز روده رت

دکتر فاطمه کبری گنجی <sup>Ph.D</sup>\*،<sup>†</sup> دکتر علیرضا فاضل <sup>Ph.D</sup>\*، دکتر محبوبه آرون <sup>M.D</sup>\*،  
دکتر مهدی جلالی <sup>Ph.D</sup>\*

<sup>‡</sup> مشهد، خیابان دانشگاه، دانشکده پزشکی، گروه آموزشی علوم تشریح

<sup>†</sup> آدرس مکاتبه: مشهد، صندوق پستی ۹۱۷۲۵-۵۸۸، دانشکده پزشکی، گروه آموزشی علوم تشریح

### چکیده

**\* هدف:** بررسی هیستوشیمیایی پیدایش و گسترش گلیکوکانجوگیت‌ها به موازات تغییرات مورفوزنیک در ضمن تکامل روده‌ها در جنین رت

**\* مواد و روشها:** مقاطع پارافینی ۵ میکرونی از قسمتهای مختلف روده جنینهای رت در مراحل مختلف تکامل (از روز دهم تا زمان تولد) در مجاورت دو لکتین PNA (*Arachis hypogaea, peanut*) و DBA (*Dolichos Biflorus, horse gram*) که با آنزیم HRP (*Horse Radish Peroxidase*) متصل شده‌اند، قرار گرفته و پس از مجاورت با دی‌آمینوتزدین و آب اکسیژنه و براساس غلظت رنگ قهوه‌ای تولید شده، مطالعه شدند. از رنگ آسینیلو به عنوان رنگ زمینه استفاده شد.

**\* یافته‌ها:** دو لکتین DBA و PNA واکنشهای متفاوتی از خود نشان دادند. در اوایل دوران مورفوزنر روده‌ها و تا روز پانزدهم جنینی، هیچ‌کدام از آنها واکنشی نداشتند. PNA در ابتدا با لایه زیر مخاطی، سطح لومینال سلولهای مخاطی واکنش داشته و در اواخر دوران جنینی با سلولهای اپی‌تلیال روده به‌استثنای سلولهای جامی شکل به‌شدت واکنش داد؛ شدت واکنش از ناحیه رأس به قاعده ویلوس کاهش یافت. DBA فقط در اواخر دوران جنینی و در اپی‌تلیوم روده بزرگ واکنش داد.

**\* نتیجه‌گیری:** یافته‌ها بیانگر آن است که در شکل‌گیری لایه زیر مخاطی و همین‌طور بالغ شدن کامل سلولهای آنتروسیت روده باریک، دی‌ساکارید گالاکتوز اناستیل گالاکتوز آمین نقش بسیار اساسی دارد اما در روده بزرگ ملکول قندی دیگری در تکامل و آماده نمودن مخاط روده برای مراحل بعد از تولد نقش دارد. این قند انتهایی زنجیره قندی گلیکوکانجوگیت‌های مخاط روده بزرگ، اناستیل گالاکتوز آمین است که طبق مطالعات انجام یافته دیگر، در مخاط روده بزرگ بالغین نیز برقرار می‌ماند.

**کل واژگان:** تکامل روده، لکتین هیستوشیمی، گلیکوکانجوگیت (ترکیبات قندی) PNA، DBA

## مقدمه

بر اساس بسیاری از مطالعات انجام یافته ثابت شده است که ترکیبات قندی (Glycoconjugates) در بسیاری از پدیده‌های تکاملی همانند تمایزات سلولی، مهاجرت‌های سلولی و ارتباطات سلولها و غیره نقش بسیار حساس و کلیدی را ایفا می‌نمایند (۱، ۲، ۳، ۴). برای مثال، در روند ارتباطات سلولهای جنینی با محیط خود، قند انتهایی و در بعضی موارد قند ماقبل انتهایی زنجیره‌های قندی در ترکیبات قندی، نقش اساسی‌تری داشته و به دنبال عملکرد آنها، سلولها وارد مراحل پیچیده مورفوژنیک خود گشته و مسیر طبیعی تکامل خود را طی می‌نمایند (۵، ۶، ۷، ۸). هرچند وقایع مورفوژنیک لوله گوارش مورد مطالعه چندین پژوهشگر قرار گرفته است (۹، ۱۰، ۱۱). اما پیدایش و گسترش این ترکیبات و ارتباط آنها با شکل‌گیری لوله گوارش مورد توجه چندانی قرار نگرفته است و مطالعات در زمینه نقش ترکیبات قندی در ضمن تکامل جنینی روده اندک و پراکنده است (۱۲، ۱۳، ۱۴). در این مقالات تغییرات مولکولی روده‌ها بر اساس آنالیزهای بیوشیمیایی با مطالعات بیوشیمیایی سوکوس کولون تنها با استفاده از لکتین PNA انجام یافته اما گسترش گلیکوکانجوگیت‌ها و تغییرات آنها در ضمن تکامل مورد توجه قرار نگرفته است؛ به همین علت، ما برآن شدیم که در اولین مرحله از مطالعات خود، ترکیبات قندی خصوصاً قندهای انتهایی آنها را در ضمن تکامل بررسی کنیم. لکتین‌ها به دلیل واکنشهای بسیار اختصاصی با قندهای انتهایی زنجیره‌های قندی، وسیله بسیار خوبی برای تشخیص این مولکولها هستند که خصوصاً در دهه اخیر کاربردهای بسیاری در تشخیصهای پاتولوژیک، بیولوژی سلولی و تکوینی پیدا نموده‌اند (۱۵، ۱۶). برخی از مطالعات بیوشیمیایی لوله گوارش در بالغین بیانگر واکنش دو لکتین DBA برای قندان استیل گالاکتوز آمین و PNA برای دو قند انتهایی گالاکتوز و آن استیل گالاکتوز آمین است (۱۷، ۱۸، ۱۹، ۲۰).

ما نیز در این مطالعه بیوشیمیایی از این دو لکتین به عنوان وسیله تشخیص قندهای انتهایی مزبور استفاده نموده و بخش تشکیل دهنده روده‌ها را از بدو پیدایش تا زمان تولد مطالعه نمودیم.

## مواد و روشها

تعداد بیست سر رت ماده از نژاد Sprague Dawley یا رنهای نر هم جنس خرد جفت‌گیری شده (بک عدد نر؛ سه عدد ماده) و با مشاهده اسپرم در ترشحات واژن، زمان صفر حاملگی مشخص شد. رحم رنهای حامله از روز دهم تا زمان تولد (برای هر روز دو رت حامله) تحت بیهوشی با کلروفورم برداشته شده و در سرم فیزیولوژی قرار گرفتند. بلافاصله جنینها از داخل رحم و پرده‌های جنینی جدا شده و به محلول تثبیت‌کننده B4G (۲۴) (شامل ۶ درصد مرکوریک کلراید، ۱ درصد استات سدیم و ۱/۰ درصد گلوکارآلدئید در pH=6) منتقل شدند و بستگی به اندازه جنینها، ۱۲ تا ۲۴ ساعت در این محلول

قرار گرفتند.

به جنینهای روزهای ۱۶ تا ۲۰ قبل از قرار گرفتن در محلول B4G برشهای طولی و یا عرضی داده شد. کلیه جنینهای تثبیت شده به خوبی با آب مقطر شستشو داده شده و سپس طبق روال معمولی روشهای هیستولوژیک (۲۳) پس از آبیگری با درجات مختلف الکل، در وضعیتهای موردنظر (طولی یا عرضی) در قالبهای پارافینی قرار گرفتند. از قالبهای مزبور برشهای ۵ میکرونی تهیه شد.

## \* روش لکتین هیستوشیمی

در این مطالعات هیستوشیمیایی از لکتین‌های PNA و DBA که هر دو با HRP (سیگما) اتصال یافته بودند، استفاده شد. برای مهار کردن پروکسیداز درونی، مقاطع در محلول ۱/۰٪ آب اکسیژنه در متانول قرار داده شدند و پس از شستشو با بافر فسفات (PBS) برای مدت دو ساعت در درجه حرارت اتاق در مجاورت لکتین‌ها که در بافر PBS (pH=۷/۳) رقیق شده‌اند قرار گرفتند (در هر میلی لیتر PBS، ۱۵ میکروگرم لکتین حل شده بود). پس از شستشو با PBS در مجاورت ۰/۰۳ درصد DAB و ۲۰۰ میکرولیتر آب اکسیژنه قرار گرفتند. در صورتی که لکتین با قند انتهایی مربوط به خود متصل شده بود، رنگ قهوه‌ای پدیدار شده سپس کلیه برشها پس از رنگ آمیزی با آلسین بلو در pH=۲/۵ برای ایجاد رنگ زمینه رنگ آمیزی شدند.

برای کنترل روش هیستوشیمی چند برش به مدت دو ساعت فقط در بافر قرار گرفتند و سپس همراه با لامهای مربوط به لکتین‌ها در مجاورت DAB و آب اکسیژنه قرار گرفتند (۵، ۲۵). برای کنترل منفی، برخی از برشها بدون اضافه نمودن لکتین‌ها مورد آزمایش قرار گرفتند و پس از مجاورت با DAB آلسین بلو مطالعه شدند.

کلیه لامها توسط پژوهشگران این مقاله با دقت با استفاده از میکروسکوپ چند نمره مورد مطالعه دقیق قرار گرفته و مناطقی که با لکتین‌ها واکنش داده بودند، گزارش شدند و از برخی تصاویر برداری شد.

## یافته‌ها

تغییرات مربوط به مورفوژنز جدار روده از روز دهم تا روز هجدهم جنینی در زیرنویس شکل‌های ۱ تا ۶ آمده است. تغییرات هیستوشیمیایی به قرار زیر است:

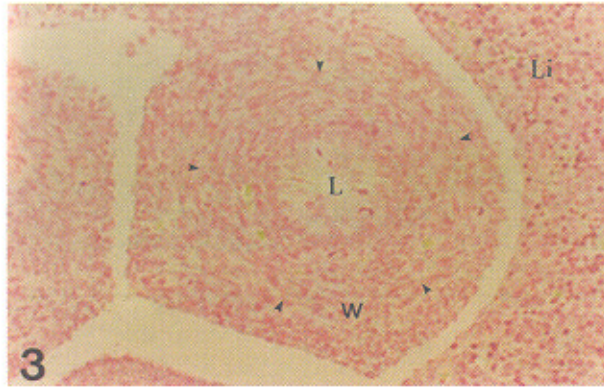
روده‌ها از بدو پیدایش خورد در روز دهم جنینی که از قسمت پیشی کبسه زرده مشتق می‌شوند تا اوایل روز هفدهم جنینی هیچ واکنشی به لکتین DBA نداشتند (شکل‌های ۱ و ۳).

از روز هفدهم تا زمان تولد گسترش واکنش DBA به این ترتیب بود که فقط مخاط روده بزرگ واکنش داده و به تدریج بر شدت آن افزوده شد.

1. Endogenous peroxidase
2. Phosphate Buffered Saline

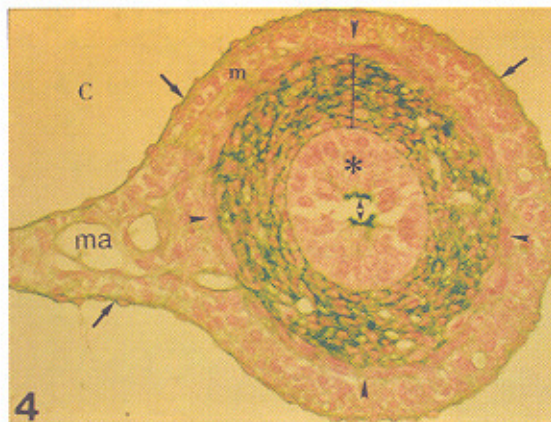
شهرزادلیکرکاتجریکیت ما قسمن هیستولوژی روده

PNA واکنش داد. سلولهای پیش ساز لایه عضلانی روده (نوکل پیکان در شکل ۴) و قسمت وسیعی از جدار روده هیچ واکنشی با PNA نداشتند.



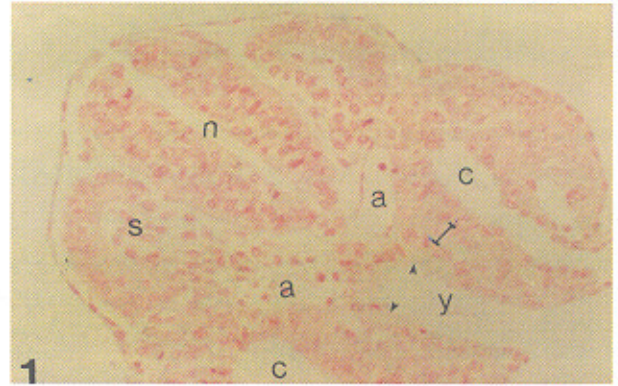
شکل ۳. مقطع عرضی روده برابر در جنین پانزده روزه در مجاورت DBA رنگ زمینه آسین بلو، بزرگمایی ۸۰۰x

لکین دوبره هیچ واکنشی در این مرحله جنینی با روده ندارد. لایه عضلانی روده (نوکل پیکان) در حال شکل گیری هستند. W جدار روده با مجرای روده. انا کید.



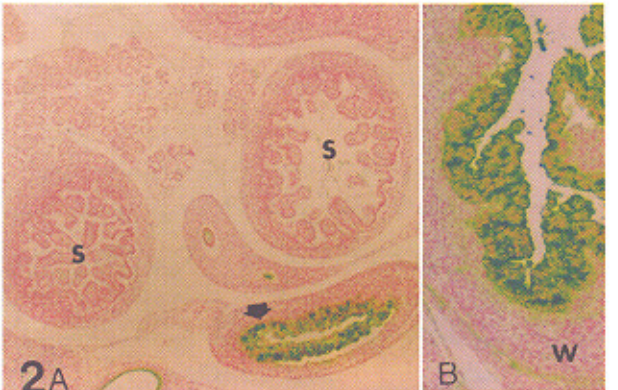
شکل ۴. مقطع روده در اوایل روز شانزدهم جنینی در مجاورت PNA (رنگ زمینه آسین بلو، بزرگمایی: ۸۰۰x)، سلولهای اپیتلیال مخاطی (ستاره) هیچ گونه واکنشی نداشته و فقط در سطح لومینال آنها واکنش شدیدی از خود بروز داده اند. سلولهای پیش ساز لامینا پریا و پریت عضله مخاطی و ناحیه زیر مخاط (A) واکنش نسبتاً شدیدی به PNA داده اند. به جز پیش سازهای عضلات حلقوی مجاور زیر مخاط (نوکل پیکانها) سایر عضلات طولی (M) مطلقاً عکس العملی به لکین نشان ندادند. غشاء پایه مربوط به سلولهای مزوتلیوم (پیکانها) نیز در تمام مسیر خود واکنش شدیدی دارند. C حفره سلوم داخل جنینی. ma شاخه شریانی مزانتیر

تا زمان تولد تغییرات فاحش دیگری در ارتباط با واکنش با PNA در روده ایجاد می شود. به این ترتیب با شکل گیری ویلوسهای روده، سلولهای ناحیه راسی با PNA واکنش داشته و شدت این واکنش در سطح لومینال سلولها (آنتروسیتیا) بسیار شدید بود (شکل ۵). اما سلولهای جایی شکل واکنشی به این لکین نداشتند و بافت محروری ویلوس عکس العمل نداشته و یا واکنش ضعیفی با این لکین داشته اند.



شکل ۱. مقطع عرضی جنین ده روزه رت (رنگ زمینه آسین بلو، بزرگمایی: ۸۰۰x) لکین DBA با PNA در این مرحله هیچ واکنشی با سلولهای تشکیل دهنده روده نمی دهند. نوکل پیکان: آنتروم روده در حال تشکیل. Y کپسه زرد. C سلوم داخل جنینی. a آنورت های پشتی. I مزانتیرم احشایی. S اسکروتوم. n نوله عصبی

این واکنش در سطح لومینال سلولها و مناطق نزدیک به این سطح بارز بوده و بقیه جدار روده و همین طور روده باریک در هیچ مرحله ای با DBA واکنش نداشتند (شکل A و B).



شکل ۲. A. مقطع عرضی حفره شکم جنین ۱۸ روزه در مجاورت لکین DBA (رنگ زمینه آسین بلو، بزرگمایی: ۸۰۰x) فقط سلولهای اپیتلیال مخاط جدار روده بزرگ با این لکین واکنش داده و مابقی قسمت های حفره شکم و روده های کوچک (S) مطلقاً با این لکین واکنش ندادند. B: بزرگ نمایی قسمتی از روده بزرگ از تصویر A (رنگ زمینه آسین بلو، بزرگمایی: ۸۰۰x) شدت واکنش در سطح لومینال و مخاط گلازی سلولهای اپیتلیال مخاط بارزتر است. منطقه زیر مخاط واکنش بسیار ضعیفی دارد و مناطق دیواره روده (W) واکنش با DBA ندارد.

واکنش با PNA به تدریج از روز یازدهم جنینی مشاهده شد. به این ترتیب که سطح لومینال سلولهای اپیتلیال (\*) و سلولهای پیش ساز لامینا پریا، عضله مخاطی و زیر مخاط واکنش نسبتاً شدیدی با PNA دارند. علاوه بر این، ناحیه غشای پایه لایه احشایی مزانتیر نیز با



جدار روده جنین گزارش داده نشده است. لکتین DBA در اوایل شکل‌گیری روده یعنی روزهای دهم تا چهاردهم جنینی فقط با سلولهای مهاجر جنسی اولیه در مجاور ایلیوم لوله گوارش و سزانتر جنین واکنش دارند و هیچ قسمت دیگری از بدن جنین با این لکتین واکنش نداد که البته در مطالعات قبلی نیز به این نکته اشاره شده است (۵).

این لکتین از اوایل روز هفدهم جنینی تا زمان تولد فقط با مخاط روده بزرگ واکنش فزاینده‌ای داشت. از آنجایی که این روند بعد از تولد در بالغین نیز مشاهده می‌شود (۱۳، ۱۴، ۱۸، ۲۶) به نظر می‌آید که قند انتهایی اناسیل گالاکتوز آمین در مراحل نهایی تکامل مخاط روده بزرگ و نگهداری آن نقش اساسی را عهده‌دار است.

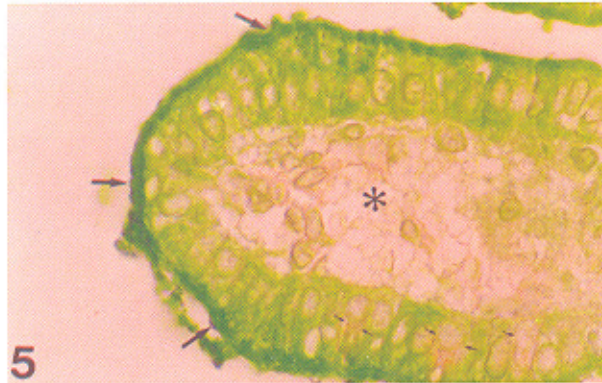
عملکرد اختصاصی DBA با مخاط روده بزرگ این امکان را به پژوهشگران می‌دهد که اولاً طبیعت گلیکوکانجیوگیتی را که با این لکتین واکنش داده با کمک روشهای بیوشیمیایی مورد مطالعه دقیق قرار دهند، ثانیاً می‌توان نقش آن را در تکامل نهایی روده بزرگ درک نمود و با بافتهای دیگری که با این لکتین واکنش می‌دهند، مقایسه نمود.

### \* لکتین PNA

از اواسط روز پانزدهم جنینی واکنش آن شروع شده و در ابتدا و به تدریج در نواحی زیر مخاط و فقط در سطح لومینال سلولهای ایلی تلیال و پیش‌سازهای بخش داخلی لایه‌های عضلانی حلقوی جدار روده ظاهر شد. به نظر می‌آید که دو قند انتهایی گالاکتوز و اناسیل گالاکتوز آمین در هیستوزنز و شکل‌گیری نهایی این ناحیه از جدار روده نقش عمده‌ای داشته باشند. اولین نشانه بروز غشای پایه نیز در اواسط روز پانزدهم مشاهده شد که در نواحی قاعده سلولهای ایلی تلیال مخاط روده و نیز در ناحیه زیر سلولهای مزوتلیوم قابل مشاهده بود. در هر دو مورد PNA واکنش شدیدی داشته و تا زمان تولد نیز به همان شدت باقی ماند که خود نشان دهنده شرکت گلیکوکانجیوگیت مزبور در ساختار غشای پایه این نواحی به میزان قابل ملاحظه‌ای است. پیش‌سازهای تشکیل دهنده عضلات طولی جدار روده در هیچ مرحله از تکامل خود با PNA واکنش ندادند.

با تشکیل ویلوسهای روده، سلولهای نواحی راسی به‌خصوص در برخی نواحی سطح سلولها که در مجاورت مجرای روده واقع است واکنش بسیار شدیدی با PNA دارند که تا زمان تولد باقی می‌ماند. این نواحی که وظیفه جذب مواد را در دوران جنینی (مایع آمیوتیک) و بعد از تولد به‌عهده خواهند داشت، احتمالاً برای مراحل نهایی تکامل خود نیاز به تثبیت این گلیکوکانجیوگیت در سطح سلولی خود برای پدید آمدن جذب و فعل و انفعالات مربوط به آن خواهند داشت.

طبق گزارشهای متعدده سلولهای جنسی در بالغین با PNA واکنش دارند (۱۹)، اما براساس این مطالعات لکتین هیستوشیمیایی تا زمان تولد سلولهای مزبور مطلقاً با PNA واکنشی ندارد، شاید تغییر وضعیت ترکیب مولکولی سطح سلولی آن به تدریج بعد از تولد ظاهر شده که ضرورتاً باید با شرایط تغذیه‌ای محیط عادت تسامد، این پدیده عادت به محیط جدید در سلولهای مخاطی روده توسط دیگران



شکل ۵: برش عرضی از یک ویلوس روده باریک جنین ۱۸ روزه رت در مجاورت با لکتین PNA (رنگ زمینه آسین‌بلو، بزرگنمایی ۵۰×)

به استثنای سلولهای جنسی شکل (غشهای کوچک) بقیه سلولهای لایه ایلی تلیال واکنش شدیدی دارند که هرچه به ناحیه قاعده ویلوس نزدیکتر شویم (سمت راست شکل) از شدت آن کاسته می‌شود. شدیدترین واکنش در ناحیه راسی سطح سلولهای آنتروسیت راس ویلوس (بافتهای بزرگ) مشاهده می‌گردد (لایناپروپریا (۶) واکنش بسیار ضعیفی به PNA دارد.

در ناحیه غدد لیبرکون، مخاط روده واکنش کمتری به PNA داشتند و به‌طور کلی از راس به قاعده ویلوس و ته غدد لیبرکون شدت واکنش کاهش یافت، به‌طوری که در محل شکل‌گیری سلولهای پانت (ته غدد)، سطح سلولها هیچ واکنشی با PNA نشان ندادند (شکل ۶).



شکل ۶: برش طولی از کریپت و غده لیبرکون مخاط روده باریک جنین ۱۸ روزه رت در مجاورت PNA (رنگ زمینه آسین‌بلو، بزرگنمایی ۵۰×)

واکنش در سطح سلولهای آنتروسیت (نوک بیگان) داخل کریپت شدید و نسبت به منطقه مشابه در راس ویلوس در شکل ۵ ضعیفتر است. حداقل واکنش در قاعده غده (B) و سطح شکل‌گیری سلولهای پانت است که به تدریج ناپدید می‌شود.

### بحث

در این مطالعه هیستوشیمیایی دو لکتین DBA و PNA کانجیوگیت شده با HRP به‌موازات هیستوزنز روده جنینهای رت مطالعه شدند. اساس انتخاب این دو لکتین، واکنشهای آنها در بافت بالغ (۲۰، ۲۱، ۲۴) و نقش کلی آنها در مورفوزنز سلولهای جنینی بود. واکنش هر دو لکتین قابل توجه بوده و تا به حال در مورد نحوه گسترش و ظهور آنها در



## تقدیر و تشکر

این مقاله براساس طرح تحقیقاتی شماره  $\frac{5/385}{78/2/9}$  که به تأیید و تصریب شورای محترم پژوهشی دانشگاه علوم پزشکی مشهد رسیده، انجام یافته است که بدین‌وسیله از معاونت محترم پژوهشی و شورای محترم پژوهشی و همچنین از خدمات تکنیکی خانم فاطمه مستجد، عزت عظیمی، زهرا ربانی و سنده میرزایی سپاسگزاری می‌شود.

نیز گزارش شده است (۲۷). نواحی فاعده ویلوسیا نیز با PNA واکنش نداشتند. سلولهای این نواحی که در واقع پیش‌سازهای سلولهای پانت هستند به PNA واکنش نداشته یا واکنش بسیار ضعیفی داشته‌اند که این نیز با نتایج گزارش شده در بافت بالغ درباره کاهش و ناپدید شدن تدریجی واکنش با PNA از نواحی رأسی ویلوس به سمت فاعده آن مطابقت دارد (۷، ۲۵، ۲۶).

## References

- Mann PL, Smartz CM, Kelly PO: Cell surface oligosaccharide modulation during differentiation. II. Membrane mobility of oligosaccharide lectin conjugates. *Mech Aging Dev* 1987; 38: 219-230
- Richa J, Solter D: Role of cell surface molecules in early mammalian development. In: *Experimental approaches to mammalian embryonic development*. J Rossant, R Pederson (eds). Cambridge University Press, Cambridge, 1986, pp 293-319
- Ivatt RJ: Role of glycoproteins during early mammalian embryogenesis. In: *The biology of glycoproteins*. RJ Ivatt (ed). Plenum Press. New York, 1984, pp 95-181
- Mann PL, Smartz CM, Kelley PO: Cell surface oligosaccharides during differentiation. II. Membrane mobility of oligosaccharide lectin conjugates. *Mech Aging Dev* 1987; 38: 219-230
- Fazel AR, Schulte BA, Thompson RP, Spicer SS: Presence of a unique glycoconjugate on the surface of rat primordial germ cells during migration. *Cell Differentiation* 1987; 21: 199-211
- Sarras MP, Maylie-pfenning MF, Manzi RM, Jamieson JD: The effect of tunicamycin on development of the mammalian embryonic pancreas. *Dev Bio* 1981; 87: 1-15
- Maylie-Pfenninger MF, Jamieson JD: Distribution of cell surface saccharide on pancreatic cell: II. Lectin labelling patterns on mature mammalian pancreatic cells. *J Cell Biol* 1979b; 80: 77-95
- Maylie-pfenninger MF, Jamieson JD: Development of cell surface saccharides on embryonic pancreatic cells. *J Cell Biol* 1980; 86: 96-103
- Cheng H: Origin, differentiation and renewal of the four main epithelial cell types in the mouse small intestine. II Mucous cell. *Am J Anat* 1974; 141: 481-502
- Cheng H, Leblond CP: Origin, differentiation and renewal of the four main epithelial cell types in the mouse small intestine III. Entero- endocrine cells. *Am J Anat* 1974; 141: 503-520
- Nygaard K: Resection of the small intestine in rats. III. Morphological changes in the intestinal tract *Acta Chir Scand* 1967; 133: 233-248
- Henning SJ: Biochemistry of intestinal development *environ. Health Perspect* 1979; 33: 9-16
- Quandamattéo F, Gotz W, Lubben U, Herken R: Changes in lectin binding sites during early human liver development. *Histochem. Cell Biol* 1997; 107: 223-228
- Caldero J, Campo E, Calomada X, Torra M: Distribution and changes of glycoconjugates in rat colonic mucosa during development. *Histochemistry* 1988; 90: 261-270
- Stoward P: Histochemical methods available for pathologic diagnosis. In: *Histochemistry in pathologic diagnosis*. S Spian (ed). Marcel Dekker, INC, New York, 1987, pp 9-21
- Goldstein IJ, Winter HC: Plant lectins: Tools for the study of complex carbohydrates. In: *Glycoproteins*. J Montreuit, J Vliegenthart, H Schachten (eds). Elsevier Science 1997, pp 403-474
- Pavelka M, Ellinger A: Affinity cytochemical differentiation of glycoconjugates of small intestinal absorptive cells using pisum sativum and lens culinaris lectin. *J. Histochem. Cytochem* 1989; 37(6): 877-884
- Voccaro R, Case C, Renda T: Modification of binding in rat gut mucosa during experimental cholestasis. *J Ant* 1992; 181: 239-247
- Sato A, Spicer SS: Ultrastructural visualization of galactosyl residues in various alimentary epithelial cells with the peanut lectin-horseradish peroxidase procedure. *Histochemistry* 1982; 73: 607-624
- Brinck U, Boshach R, Korabiowska M, Schauer A, Gabius H: Lectin binding sites in the epithelium of normal human appendix vermiformis. *Histol Histopathol* 1995; 10(1): 61-70
- Falk P, Lorenz R, Sharon N, Gordon J: Molucella laevis lectin, a marker for cellular differentiation programs in mouse gut epithelium. *Am J Physiol* 1995; 268(4): 553-67





22. Schulte BA, Spicer SS: Light microscopic detection of sugar residues in glycoconjugates of salivary glands and the pancreas with lectin-horseradish peroxidase conjugate. *J Mouse Histochem J* 1983; 15: 1217-1238

23. Spicer S: Processing of tissues for diagnostic histochemistry. In: *Histochemistry in pathologic diagnosis*, S Spicer (ed), Marcel Dekker, INC, New York, 1987, pp 1-7

24. Lotan R, Skutelsky E, Danon D, Sharon N: The purification, composition and specificity of the

anti-T-lectin from peanut (*Arachis hypogaea*). *J Biol Chem* 1975; 250: 8515-8523

25. Wester T, Eriksson L, Olsson Y, Olsen L: Interstitial cells of cajal in the human fetal small bowel as shown by C-kit. *Immunohistochemistry* 1999; Gut 44(1) 65-71

26. Hocker M, Wiedenmann B. Molecular mechanisms of enteroendocrine differentiation 1999; *Acad Sci* 859: 160-174

27. Williams RC: Interstitial adaptation. *N England J Med* 1978; 298(25): 1393-1402

